

Ա. Ա. ԲԱԲԼՈՅԱ, Վ. Գ. ՍԱԱԿՅԱՆ

## ОБ ОДНОЙ ПЛОСКОЙ КОНТАКТНОЙ ЗАДАЧЕ ТЕОРИИ УПРУГОСТИ ДЛЯ КРУГОВОГО КОЛЬЦА

Действие штампов на круговое кольцо исследовали многие авторы [1–4, 6].

В настоящей работе приводится решение задачи о плоской деформации кругового кольца, когда по внешнему и внутреннему контурам приложены  $m > 1$  одинаковых симметрично расположенных жестких штампов, причем размеры их на каждом из контуров одинаковы. Размеры же штампов на внутреннем и внешнем контурах в общем случае различны.

Рассмотрены два случая взаимного расположения внутренних и внешних штампов: 1) друг против друга и 2) в шахматном порядке.

Задача сводится к решению системы двух парных рядов-уравнений, содержащих тригонометрические функции, которая, в свою очередь, сводится к системе двух бесконечных систем линейных алгебраических уравнений. Показывается, что каждая из получающихся систем не только квази-вполне регулярна, но и сумма модулей коэффициентов при неизвестных стремится к нулю. Свободные члены этих систем также стремятся к нулю при возрастании индекса.

Получены удобные для вычислений формулы (с выделенными особенностями) для контактных напряжений и радиальных перемещений.

Как известно [1], плоская задача теории упругости в полярных координатах  $(r, \varphi)$  сводится к определению бигармонической функции Эйри  $\Phi(r, \varphi)$  при заданных граничных условиях. Произведя замену переменной  $r = ae^t$  и введя новую функцию  $F(t, \varphi) = ar^{-1}\Phi(r, \varphi)$ , как это сделано в [5, 7], бигармоническое уравнение приводим к дифференциальному уравнению с постоянными коэффициентами, допускающему разделение переменных.

Решение последнего уравнения для кругового кольца ( $a \leq r \leq b$ ,  $0 \leq \varphi \leq 2\pi$ ) ищем в виде ряда Фурье

$$F(t, \varphi) = b(t) + \sum_{k=1}^{\infty} \Psi_k(t) \cos \alpha_k \varphi$$
$$\Psi_k(t) = C_k \operatorname{sh} \alpha_k (t_1 - t) \operatorname{sh} (t_1 - t) + A_k \operatorname{sh} \alpha_k (t_1 - t) \operatorname{sh} t +$$
$$+ B_k \operatorname{sh} \alpha_k t \operatorname{sh} (t_1 - t) + D_k \operatorname{sh} \alpha_k t_1 \operatorname{sh} t \quad (0.1)$$

$$b(t) = b_0 e^t + b_1 t e^{-t}, \quad \alpha_k = \frac{k\pi}{\varphi_1} = km, \quad \varphi_1 = \frac{\pi}{m}$$

$$t = \ln \frac{r}{a} \quad (0 \leq t \leq t_1), \quad t_1 = \ln \frac{b}{a}$$

где  $m$  — число штампов,  $a$  и  $b$  — радиусы кругового кольца.

Формулы для определения напряжений и перемещений через новую функцию  $F(t, \varphi)$  приведены в работах [6, 7].

В силу симметрии области и граничных условий относительно осей  $\varphi = k\varphi_1$  ( $k = 0, 1, 2, \dots, 2m - 1$ ), функцию  $F(t, \varphi)$  разыскиваем только в  $\frac{1}{2m}$ -ой части области. При этом на осях симметрии удовлетворяются условия

$$v(t, \varphi) = \tau_{r\varphi}(t, \varphi) = 0 \quad \varphi = k\varphi_1 \quad (k = 0, 1, 2, \dots, 2m - 1) \quad (0.2)$$

Легко видеть, что при выборе  $F(t, \varphi)$  в виде (0.1) условия симметрии (0.2) удовлетворяются тождественно.

1. Рассмотрим случай, когда штампы расположены друг против друга. Граничные условия этой задачи имеют вид

$$\tau_{r\varphi}(0, \varphi) = \tau_{r\varphi}(t_1, \varphi) = 0 \quad (0 \leq \varphi \leq \varphi_1)$$

$$u(0, \varphi) = f_1(\varphi) \quad (0 \leq \varphi \leq \bar{\varphi}_0), \quad \sigma_r(0, \varphi) = f_2(\varphi) \quad (\bar{\varphi}_0 < \varphi \leq \varphi_1) \quad (1.1)$$

$$u(t_1, \varphi) = f_3(\varphi) \quad (0 \leq \varphi \leq \varphi_0), \quad \sigma_r(t_1, \varphi) = f_4(\varphi) \quad (\bar{\varphi}_0 < \varphi \leq \varphi_1)$$

Удовлетворяя граничным условиям (1.1), для неизвестных коэффициентов  $A_k, B_k, C_k, D_k$ , а также для  $b(t)$  получим следующие значения:

$$A_k = k \frac{X_k \operatorname{sh} \alpha_k t_1 - Y_k \operatorname{sh} t_1}{\operatorname{sh}^2 \alpha_k t_1 - \alpha_k^2 \operatorname{sh}^2 t_1}, \quad B_k = k \frac{X_k \alpha_k \operatorname{sh} t_1 - Y_k \operatorname{sh} \alpha_k t_1}{\operatorname{sh}^2 \alpha_k t_1 - \alpha_k^2 \operatorname{sh}^2 t_1} \quad (1.2)$$

$$b(t) = \frac{1}{4 \operatorname{sh} t_1} [X_0 (2te^{t-t_1} - e^{-(t_1-t)}) + Y_0 (e^t - 2te^{-t})], \quad C_k = D_k = 0$$

где  $X_k$  и  $Y_k$  ( $k = 0, 1, 2, \dots$ ) определяются из системы парных рядовых уравнений

$$\begin{cases} X_0 - \mu Y_0 + \sum_{k=1}^{\infty} [(1 - N_k^+) X_k - M_k Y_k] \cos \alpha_k \varphi = f_1^*(\varphi) \quad (0 \leq \varphi \leq \bar{\varphi}_0) \\ X_0 + \sum_{k=1}^{\infty} k X_k \cos \alpha_k \varphi = f_2^*(\varphi) \quad (\bar{\varphi}_0 < \varphi \leq \varphi_1) \end{cases} \quad (1.3)$$

$$\begin{cases} Y_0 - \mu X_0 + \sum_{k=1}^{\infty} [(1 - N_k^-) Y_k - M_k X_k] \cos \alpha_k \varphi = f_3^*(\varphi) \quad (0 \leq \varphi \leq \varphi_0) \\ Y_0 + \sum_{k=1}^{\infty} k Y_k \cos \alpha_k \varphi = f_4^*(\varphi) \quad (\varphi_0 < \varphi \leq \varphi_1) \end{cases}$$

где введены обозначения

$$\begin{aligned} f_{1,3}^*(\varphi) &= \mp \frac{maE}{2(1-\sigma^2)} f_{1,3}(\varphi), \quad f_2^*(\varphi) = a^2 f_2(\varphi), \quad f_4^*(\varphi) = a^2 e^t f_4(\varphi) \\ N_k &= 1 \mp \frac{\alpha_k - \sigma_0 (\sinh^2 \alpha_k t_1 - \alpha_k^2 \sinh^2 t_1) \pm 2^{-1} \alpha_k (\sinh 2\alpha_k t_1 + \alpha_k \sinh 2t_1)}{\sinh^2 \alpha_k t_1 - \alpha_k^2 \sinh^2 t_1} \\ M_k &= \frac{\alpha_k^2}{\alpha_k^2 - 1} \frac{\sinh \alpha_k t_1 \cosh t_1 + \alpha_k \cosh \alpha_k t_1 \sinh t_1}{\sinh^2 \alpha_k t_1 - \alpha_k^2 \sinh^2 t_1}, \quad \sigma_0 = \frac{1 - 2\sigma}{2(1 - \sigma)} \\ \lambda &= \frac{\cosh t_1 - \sigma e^{-t_1}}{2(1 - \sigma) m \sinh t_1}, \quad \beta = \frac{1}{2m \sinh t_1} \end{aligned} \quad (1.4)$$

$\sigma$  — коэффициент Пуассона.

Введем обозначения

$$g_t(x) = f_t^*(\varphi), \quad x = \frac{\pi \varphi}{\varphi_1} \quad (0 < x \leq \pi), \quad \gamma = \frac{\pi \varphi_0}{\varphi_1}, \quad \beta = \frac{\pi \varphi_0}{\varphi_1} \quad (1.5)$$

Пользуясь известными решениями парных рядов-уравнений по ко-  
синусам [8, 9], уравнения (1.3) сводим к следующей системе двух  
бесконечных систем линейных алгебраических уравнений:

$$\begin{cases} X_n = \sum_{k=1}^{\infty} a_{nk}^+ X_k + \sum_{k=1}^{\infty} b_{nk}^+ Y_k + c_n \\ Y_n = \sum_{k=1}^{\infty} a_{nk}^- Y_k + \sum_{k=1}^{\infty} b_{nk}^- X_k + c_n^* \end{cases} \quad (n = 1, 2, \dots) \quad (1.6)$$

где

$$\begin{aligned} a_{nk}^{\pm} &= \frac{1}{2} k N_k^{\pm} I_{nk} \left[ \frac{(\gamma + \beta) \pm (\gamma - \beta)}{2} \right] \\ b_{nk}^{\pm} &= \frac{1}{2} k M_k I_{nk} \left[ \frac{(\gamma + \beta) \pm (\gamma - \beta)}{2} \right] \\ c_n &= X_0 \frac{y_n(\cos \gamma)}{n} + \frac{1}{2} \int_0^{\pi} F_1(\theta) z_n(\cos \theta) \operatorname{ctg} \theta/2 d\theta + \\ &\quad + \frac{1}{2} \int_{\pi}^{\pi} F_2(\theta) z_n(\cos \theta) \operatorname{ctg} \theta/2 d\theta \\ c_n^* &= Y_0 \frac{y_n(\cos \beta)}{n} + \frac{1}{2} \int_0^{\beta} F_3(\theta) z_n(\cos \theta) \operatorname{ctg} \theta/2 d\theta + \\ &\quad + \frac{1}{2} \int_{\beta}^{\pi} F_4(\theta) z_n(\cos \theta) \operatorname{ctg} \theta/2 d\theta \end{aligned} \quad (1.7)$$

$$I_{nk}(x) = \int_0^{\pi} z_k(\cos \theta) z_n(\cos \theta) \operatorname{ctg} \theta/2 d\theta \quad (1.7)$$

$$y_n(x) = P_{n-1}(x) + P_n(x), \quad z_n(x) = P_{n-1}(x) - P_n(x)$$

$$F_{1,3}(\theta) = -\frac{2\sqrt{2}}{\pi} \operatorname{tg} \theta/2 \frac{d}{d\theta} \int_0^{\theta} \frac{g_{1,3}(x) \cos x/2 dx}{(\cos x - \cos \theta)^{1/4}}$$

$$F_{2,4}(\theta) = -\frac{2\sqrt{2}}{\pi} \int_0^{\pi} \frac{g_{2,4}(x) \sin x/2 dx}{(\cos \theta - \cos x)^{1/4}}$$

$P_n(x)$  — полином Лежандра.

Постоянные  $X_0$  и  $Y_0$  будем определять из следующих уравнений:

$$\begin{aligned} (1) - 2 \ln \sin \gamma/2 X_0 - \mu Y_0 &= \frac{1}{2} \sum_{k=1}^{\infty} (N_k^+ X_k + M_k Y_k) y_k(\cos \gamma) - \\ &- \frac{1}{2} \int_0^{\pi} F_1(\theta) \operatorname{ctg} \theta/2 d\theta - \frac{1}{2} \int_0^{\pi} F_2(\theta) \operatorname{ctg} \theta/2 d\theta + g_1(0) \end{aligned} \quad (1.8)$$

$$\begin{aligned} (2) - 2 \ln \sin \beta/2 Y_0 - \mu X_0 &= \frac{1}{2} \sum_{k=1}^{\infty} (N_k^- Y_k + M_k X_k) y_k(\cos \beta) - \\ &- \frac{1}{2} \int_0^{\pi} F_3(\theta) \operatorname{ctg} \theta/2 d\theta - \frac{1}{2} \int_0^{\pi} F_4(\theta) \operatorname{ctg} \theta/2 d\theta + g_2(0) \end{aligned}$$

которые получаются из первого и третьего уравнений системы (1.3).

Неизвестные  $X_k$  и  $Y_k$ , определенные из бесконечных систем (1.6), выражаются через  $X_0$  и  $Y_0$ . Подставляя найденные из (1.6) значения  $X_k$  и  $Y_k$  в (1.8) и разрешая полученную систему относительно  $X_0$  и  $Y_0$ , находим их значения.

Исследуем первую бесконечную систему из (1.6). Учитывая, что  $N_k^\pm = O(k^{-1})$  и  $M_k = o(N_k)$ , получим

$$\sum_{k=1}^{\infty} |a_{nk}^\pm| < 4 \varepsilon_0 \frac{1 + \ln 4n}{mn}, \quad \sum_{k=1}^{\infty} |b_{nk}^\pm| < 8 m e^{-mt_1} \operatorname{sh} t_1 \frac{1 + \ln n}{n^{3/4}} \quad (1.9)$$

Каждая из полученных оценок при  $n \rightarrow \infty$  стремится к нулю. Аналогичные оценки получаются и для второй системы (1.6). Следовательно, система (1.6) квази-вполне регулярна. Из (1.7) видно, что свободные члены систем (1.6) при возрастании индекса стремятся к нулю, как  $c_n, c_n^* = o(n^{-3/4})$ .

Выведем теперь удобные формулы для вычисления контактных напряжений  $\sigma_r$  и  $\sigma_\varphi$ . Пользуясь бесконечной системой (1.6) и значением ряда

$$\sum_{k=1}^{\infty} z_k(\cos \theta) \sin kx = \begin{cases} \frac{\sqrt{2} \sin x/2}{\sqrt{\cos x - \cos \theta}} & (x < \theta) \\ 0 & (x > \theta) \end{cases} \quad (1.10)$$

для этих напряжений получим следующие окончательные выражения:

$$a^2 \sigma_r(0, \varphi) = X_0 + \sum_{k=1}^{\infty} k X_k \cos x_k \varphi = \frac{\sqrt{2} \cos x/2}{2} \left[ \int_x^{\beta} \frac{F_1'(\theta) d\theta}{\sqrt{\cos x - \cos \theta}} + \right. \\ \left. + \int_1^{\pi} \frac{F_2'(\theta) d\theta}{\sqrt{\cos x - \cos \theta}} - \frac{H_1 \sqrt{2}}{\sqrt{\cos x - \cos \gamma}} + \right] \quad (1.11)$$

$$+ \sum_{k=1}^{\infty} k^2 (N_k^+ X_k + M_k Y_k) \left[ \int_x^{\beta} \frac{y_k(\cos \theta) \operatorname{tg} \theta/2 d\theta}{\sqrt{\cos x - \cos \theta}} \right] \quad \begin{cases} 0 < \varphi < \varphi_0 \\ 0 < x < \gamma \end{cases}$$

$$a^2 \sigma_\varphi(0, \varphi) = a^2 \sigma_r(0, \varphi) + \chi_1(\varphi) \quad (0 < \varphi < \varphi_0) \quad (1.12)$$

где

$$\chi_1(\varphi) = \frac{Y_0}{\operatorname{sh} t_1} - (1 + \operatorname{ctg} t_1) X_0 + \\ + 2 \sum_{k=1}^{\infty} \frac{k x_k \operatorname{sh} t_1 (X_k x_k \operatorname{sh} t_1 - Y_k \operatorname{sh} x_k t_1)}{\operatorname{sh}^2 x_k t_1 - x_k^2 \operatorname{sh}^2 t_1} \cos x_k \varphi \quad (1.13)$$

и представляет собой ограниченную и непрерывную функцию. Совершенно аналогично для контактных напряжений  $\sigma_r$  и  $\sigma_\varphi$  на внешнем контуре получим

$$a^2 e^{t_1} \sigma_r(t_1, \varphi) = \frac{\sqrt{2} \cos x/2}{2} \left[ \int_x^{\beta} \frac{F_3'(\theta) d\theta}{\sqrt{\cos x - \cos \theta}} + \int_{\beta}^{\pi} \frac{F_4'(\theta) d\theta}{\sqrt{\cos x - \cos \theta}} - \right. \\ \left. - \frac{H_2 \sqrt{2}}{\sqrt{\cos x - \cos \beta}} + \sum_{k=1}^{\infty} k^2 (N_k^- Y_k + M_k X_k) \int_x^{\beta} \frac{y_k(\cos \theta) \operatorname{tg} \theta/2 d\theta}{\sqrt{\cos x - \cos \theta}} \right] \quad (1.14) \\ \begin{cases} 0 < \varphi < \varphi_0 \\ 0 < x < \beta \end{cases}$$

$$a^2 e^{t_1} \sigma_\varphi(t_1, \varphi) = a^2 e^{t_1} \sigma_r(t_1, \varphi) + \chi_2(\varphi) \quad (0 < \varphi < \varphi_0) \quad (1.15)$$

где

$$\begin{aligned} \gamma_2(\varphi) = & -\frac{X_0}{\sinh t_1} + (\coth t_1 - 1) Y_0 + \\ & + 2 \sum_{k=1}^{\infty} \frac{k \alpha_k \sinh t_1 (Y_k \alpha_k \sinh t_1 - X_k \sinh \alpha_k t_1)}{\sinh^2 \alpha_k t_1 - \alpha_k^2 \sinh^2 t_1} \cos \alpha_k \varphi \quad (1.16) \end{aligned}$$

В формулах (1.11) и (1.14) коэффициенты при особенностях имеют вид

$$H_1 = \frac{\sqrt{2}}{2} \left[ \sum_{k=1}^{\infty} k (N_k^+ X_k + M_k Y_k) z_k (\cos \gamma) + F_1(\gamma) - F_2(\gamma) - 2X_0 \right] \quad (1.17)$$

$$H_2 = \frac{\sqrt{2}}{2} \left[ \sum_{k=1}^{\infty} k (N_k^- Y_k + M_k X_k) z_k (\cos \beta) + F_3(\beta) - F_4(\beta) - 2Y_0 \right]$$

Напряжения  $\sigma_r$  и  $\sigma_\varphi$  сначала выражаются медленно (условно) сходящимися тригонометрическими рядами. После выделения особенностей в этих выражениях появляются новые ряды по функциям  $z_k(x)$ , которые сходятся уже намного быстрее (абсолютно).

Аналогично, для радиальных перемещений вне области контакта очевидно получим

$$\begin{aligned} -\frac{maE}{2(1-\sigma^2)} u(0, \varphi) = & \lambda X_0 - \mu Y_0 + \sum_{k=1}^{\infty} [(1 - N_k^+) X_k - M_k Y_k] \cos kx = \\ = & g_1(0) - 2X_0 \ln \frac{\sqrt{2} \sin x/2 + \sqrt{\cos \gamma - \cos x}}{\sqrt{2} \sin \gamma/2} - \\ - & \frac{\sqrt{2} \sin x/2}{2} \left[ \int_0^\gamma \frac{F_1(\theta) \operatorname{ctg} \theta/2 d\theta}{\sqrt{\cos \theta - \cos x}} + \int_\gamma^x \frac{F_2(\theta) \operatorname{ctg} \theta/2 d\theta}{\sqrt{\cos \theta - \cos x}} - \right. \\ - & \left. \sum_{k=1}^{\infty} k (N_k^+ X_k + M_k Y_k) \int_1^x \frac{z_k(\cos \theta) \operatorname{ctg} \theta/2 d\theta}{\sqrt{\cos \theta - \cos x}} \right] \quad \begin{cases} \bar{\gamma}_0 < \varphi < \bar{\gamma}_1 \\ \gamma < x < \pi \end{cases} \quad (1.18) \end{aligned}$$

$$\begin{aligned} -\frac{maE}{2(1-\sigma^2)} u(t_1, \varphi) = & \lambda Y_0 - \mu X_0 + \sum_{k=1}^{\infty} [(1 - N_k^-) Y_k - M_k X_k] \cos kx = \\ = & g_2(0) - 2Y_0 \ln \frac{\sqrt{2} \sin x/2 + \sqrt{\cos \beta - \cos x}}{\sqrt{2} \sin \beta/2} - \\ - & \frac{\sqrt{2} \sin x/2}{2} \left[ \int_0^\beta \frac{F_3(\theta) \operatorname{ctg} \theta/2 d\theta}{\sqrt{\cos \theta - \cos x}} + \int_\beta^x \frac{F_4(\theta) \operatorname{ctg} \theta/2 d\theta}{\sqrt{\cos \theta - \cos x}} - \right. \end{aligned}$$

$$-\sum_{k=1}^{\infty} k(N_k^- Y_k + M_k X_k) \int_0^x \frac{z_k(\cos \theta) \operatorname{ctg} \theta/2 d\theta}{\sqrt{\cos \theta - \cos x}} \quad \left( \begin{array}{l} \varphi_0 < \varphi < \varphi_1 \\ \beta < x < \pi \end{array} \right) \quad (1.19)$$

Расчеты, производимые по преобразованным формулам (1.11), (1.14), (1.18), (1.19), дают большую точность ввиду хорошей сходимости рядов и того, что интегралы, входящие в них, легко вычисляются для каждого фиксированного  $k$ .

2. Рассмотрим теперь вторую задачу для кругового кольца, когда штанги внутреннего и внешнего контуров расположены в шахматном порядке.

Границные условия этой задачи имеют вид

$$\tau_{r\varphi}(0, \varphi) = \tau_{r\varphi}(t_1, \varphi) = 0 \quad (0 \leq \varphi \leq \varphi_1)$$

$$u(0, \varphi) = f_1(\varphi) \quad (\varphi_0 \leq \varphi \leq \varphi_1), \quad \tau_r(0, \varphi) = f_2(\varphi) \quad (0 \leq \varphi < \varphi_0) \quad (2.1)$$

$$u(t_1, \varphi) = f_3(\varphi) \quad (0 \leq \varphi \leq \varphi_0), \quad \tau_r(t_1, \varphi) = f_4(\varphi) \quad (\varphi_0 < \varphi \leq \varphi_1)$$

Функцию Эйри ищем в виде (0.1). Тогда коэффициенты  $A_k - D_k$  и функция  $b(t)$  будут определяться по формулам (1.2), где неизвестные  $X_k$  и  $Y_k$  должны определяться из бесконечных систем (1.6), причем в (1.6) коэффициенты  $a_{nk}^-, b_{nk}^-$  и  $c_n$  определяются по формулам (1.7), а коэффициенты  $a_{nk}^+, b_{nk}^+$  и  $c_n$  будем определять уже по следующим формулам:

$$a_{nk}^+ = \frac{1}{2} k N_k^+ I_{nk}(\gamma), \quad b_{nk}^+ = \frac{1}{2} k M_k I_{nk}^*(\gamma)$$

$$c_n = -X_0 \frac{z_n(\cos \gamma)}{n} + \frac{1}{2} \int_0^\gamma F_2(\theta) y_n(\cos \theta) \operatorname{tg} \theta/2 d\theta + \quad (2.2)$$

$$+ \frac{1}{2} \int_\gamma^\pi F_1(\theta) y_n(\cos \theta) \operatorname{tg} \theta/2 d\theta$$

где

$$I_{nk}^*(\gamma) = \int_\gamma^\pi y_k(\cos \theta) y_n(\cos \theta) \operatorname{tg} \theta/2 d\theta$$

$$F_1(\theta) = -\frac{2\sqrt{2}}{\pi} \operatorname{ctg} \theta/2 \frac{d}{d\theta} \int_0^\pi \frac{g_1(x) \sin x/2 dx}{(\cos \theta - \cos x)^{1/2}} \quad (2.3)$$

$$F_2(\theta) = \frac{2\sqrt{2}}{\pi} \int_0^\theta \frac{g_2(x) \cos x/2 dx}{(\cos x - \cos \theta)^{1/2}}$$

Для определения постоянных  $X_0$  и  $Y_0$  получается система (1.8), где вместо первого уравнения будем иметь

$$(λ - 2 \ln \cos γ/2) X_0 - μ Y_0 = - \frac{1}{2} \sum_{k=1}^∞ (N_k^+ X_k + M_k Y_k) z_k (\cos γ) + \\ + \frac{1}{2} \int_0^γ F_2(θ) \operatorname{tg} θ/2 dθ + \frac{1}{2} \int_γ^π F_1(θ) \operatorname{tg} θ/2 dθ + g_1(π) \quad (2.4)$$

Аналогично тому, как это сделано в первой задаче, получены формулы для контактных напряжений и радиальных перемещений вне штампов, причем на внешнем контуре эти формулы остаются прежними (1.14) и (1.19), а на внутреннем контуре имеем

$$a^2 \sigma_r(0, φ) = \frac{\sqrt{2} \sin x/2}{2} \left[ \int_1^x \frac{F_1'(θ) dθ}{\sqrt{\cos θ - \cos x}} + \int_0^γ \frac{F_2'(θ) dθ}{\sqrt{\cos θ - \cos x}} + \right. \\ \left. + \frac{H_1 V \sqrt{2}}{\sqrt{\cos γ - \cos x}} - \sum_{k=1}^∞ k^2 (N_k^+ X_k + M_k Y_k) \int_γ^x \frac{z_k(\cos θ) \operatorname{ctg} θ/2 dθ}{\sqrt{\cos θ - \cos x}} \right] \quad (2.5)$$

$$\begin{cases} γ_0 < φ < γ_1 \\ γ < x < π \end{cases}$$

$$-\frac{maE}{2(1-μ^2)} u(0, φ) = g_1(π) - 2X_0 \ln \frac{\sqrt{2} \cos x/2 + \sqrt{\cos x - \cos γ}}{\sqrt{2} \cos γ/2} + \\ + \frac{\sqrt{2} \cos x/2}{2} \left[ \int_γ^x \frac{F_1(θ) \operatorname{tg} θ/2 dθ}{\sqrt{\cos x - \cos θ}} + \int_x^γ \frac{F_2(θ) \operatorname{tg} θ/2 dθ}{\sqrt{\cos x - \cos θ}} - \right. \\ \left. - \sum_{k=1}^∞ k (N_k^+ X_k + M_k Y_k) \int_x^0 \frac{y_k(\cos θ) \operatorname{tg} θ/2 dθ}{\sqrt{\cos x - \cos θ}} \right] \quad \begin{cases} 0 < φ < γ_0 \\ 0 < x < γ \end{cases} \quad (2.6)$$

где

$$H_1^* = \frac{\sqrt{2}}{2} \left[ \sum_{k=1}^∞ k (N_k^+ X_k + M_k Y_k) y_k(\cos γ) + F_1(γ) - F_2(γ) + 2X_0 \right] \quad (2.7)$$

Напряжения  $σ_φ(t, φ)$  определяются по формулам, приведенным в первой задаче.

Силы, действующие на внутренний ( $P_1$ ) и внешний ( $P_2$ ) штампы, вычисляются по формулам

Таблица 1 (1 вариант)

$\varphi$	$\frac{1}{c_1} u_1(0, \varphi)$	$\frac{1}{c_2} u_2(0, \varphi)$	$\varphi$	$\frac{a}{Ec_1} \sigma_r^{(1)}(0, \varphi)$	$\frac{a}{Ec_2} \sigma_r^{(2)}(0, \varphi)$
0°	-0.042	-0.916	50°	0; -∞	0; -∞
5°	-0.034	-0.903	50°15'	-3.344	-0.404
10°	-0.009	-0.860	50°30'	-2.324	-0.224
15°	0.036	-0.787	50°45'	-1.866	-0.133
20°	0.103	-0.686	51°	-1.589	-0.072
25°	0.193	-0.563	52°	-1.049	-0.067
30°	0.303	-0.428	53°	-0.802	0.145
35°	0.430	-0.295	54°	-0.652	0.199
40°	0.569	-0.175	55°	-0.552	0.239
45°	0.723	-0.078	56°	-0.481	0.269
46°	0.757	-0.062	57°	-0.432	0.290
47°	0.794	-0.047	58°	-0.400	0.305
48°	0.836	-0.033	59°	-0.381	0.314
49°	0.886	-0.020	60°	-0.375	0.316
50°	1.000	0.000			

Таблица 2 (1 вариант)

$\varphi$	$\frac{a}{Ec_1} \sigma_r^{(1)}(t_1, \varphi)$	$\frac{a}{Ec_2} \sigma_r^{(2)}(t_1, \varphi)$	$\varphi$	$\frac{2}{c_1} u_1(t_1, \varphi)$	$\frac{1}{c_2} u_2(t_1, \varphi)$
0°	0.200	-0.074	20°	0.000	-1.000
5°	0.182	-0.104	21°	0.053	-0.860
10°	0.125	-0.202	22°	0.079	-0.799
15°	-0.001	-0.424	23°	0.103	-0.750
16°	-0.045	-0.507	24°	0.126	-0.707
17°	-0.103	-0.623	25°	0.149	-0.668
18°	-0.191	-0.809	30°	0.265	-0.503
19°	-0.363	-1.208	35°	0.388	-0.365
19°15'	-0.446	-1.414	40°	0.512	-0.251
19°30'	-0.580	-1.754	45°	0.628	-0.160
19°45'	-0.867	-2.512	50°	0.722	-0.095
20°	-∞; 0	-∞; 0	55°	0.784	-0.057
			60°	0.805	-0.044

Таблица 3 (II вариант)

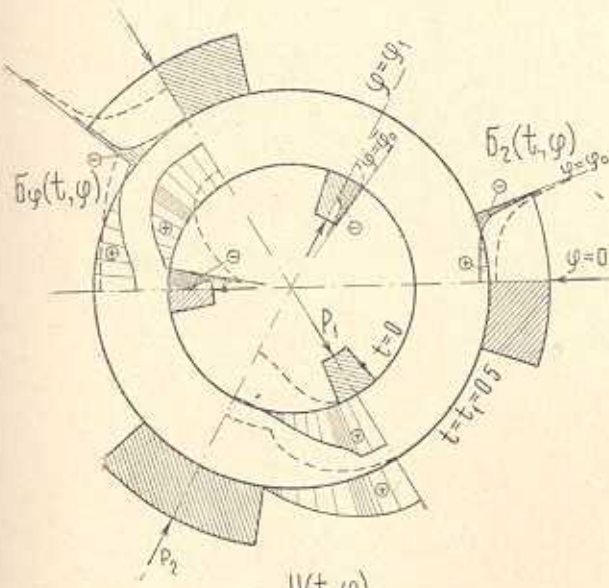
$\varphi$	$\frac{1}{c_1} u_1(0, \varphi)$	$\frac{1}{c_2} u_2(0, \varphi)$	$\bar{\varphi}$	$\frac{a}{Ec_1} \dot{z}_r^{(1)}(0, \varphi)$	$\frac{a}{Ec_2} \dot{z}_r^{(2)}(0, \varphi)$
0°	0.803	-0.184	8°	-1.608	-1.451
1°	0.809	-0.178	9°	-1.515	-1.352
2°	0.830	-0.159	10°	-1.439	-1.268
3°	0.870	-0.120	15°	-1.140	-0.914
4°	1.000	0.000	20°	-0.888	-0.596
$\varphi$	$\frac{a}{Ec_1} \dot{z}_r^{(1)}(0, \varphi)$	$\frac{a}{Ec_2} \dot{z}_r^{(2)}(0, \varphi)$	25°	-0.680	-0.328
4°	0; -∞	0; -∞	30°	-0.529	-0.129
4°15'	-4.422	-4.103	35°	-0.433	-0.001
4°30'	-3.251	-3.012	40°	-0.382	0.071
4°45'	-2.752	-2.545	45°	-0.361	0.103
5°	-2.464	-2.277	50°	-0.357	0.114
6°	-1.950	-1.790	55°	-0.359	0.117
7°	-1.740	-1.581	60°	-0.361	0.117

Таблица 4 (II вариант)

$\varphi$	$\frac{a}{Ec_1} \dot{z}_r^{(1)}(t_1, \varphi)$	$\frac{a}{Ec_2} \dot{z}_r^{(2)}(t_1, \varphi)$	$\bar{\varphi}$	$\frac{1}{c_1} u_1(t_1, \bar{\varphi})$	$\frac{1}{c_2} u_2(t_1, \bar{\varphi})$
0°	-0.726	-0.964	12°	0.000	-1.000
5°	-0.784	-1.037	13°	0.168	-0.781
6°	-0.816	-1.078	14°	0.235	-0.694
7°	-0.861	-1.135	15°	0.283	-0.631
8°	-0.927	-1.220	20°	0.430	-0.443
9°	-1.030	-1.353	25°	0.506	-0.344
10°	-1.212	-1.589	30°	0.550	-0.287
11°	-1.647	-2.154	35°	0.575	-0.254
11°15'	-1.882	-2.460	40°	0.588	-0.237
11°30'	-2.281	-2.980	45°	0.594	-0.228
11°45'	-3.192	-4.168	50°	0.595	-0.226
12°	-∞; 0	-∞; 0	55°	0.595	-0.226
			60°	0.594	-0.226

Таблица 5 (I вариант)

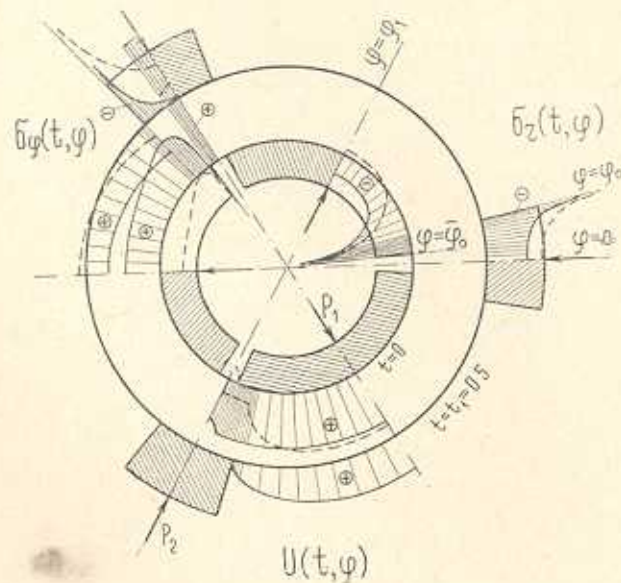
$\varphi$	$\frac{a}{Ec_1} \sigma_{\varphi}^{(1)}(0, \varphi)$	$\frac{a}{Ec_2} \sigma_{\varphi}^{(2)}(0, \varphi)$	$\varphi$	$\frac{a}{Ec_1} \sigma_{\varphi}^{(1)}(t_1, \varphi)$	$\frac{a}{Ec_2} \sigma_{\varphi}^{(2)}(t_1, \varphi)$
0°	0.803	0.241	0°	0.040	-0.578
5°	0.815	0.240	5°	0.025	-0.598
10°	0.840	0.221	10°	-0.017	-0.664
15°	0.855	0.149	15°	-0.115	-0.834
20°	0.834	-0.003	16°	-0.152	-0.904
25°	0.763	-0.227	17°	-0.202	-1.006
30°	0.646	-0.483	18°	-0.281	-1.178
35°	0.500	-0.726	19°	-0.444	-1.562
40°	0.345	-0.927	20°	$-\infty$ ; -0.070	$-\infty$ ; -0.339
45°	0.200	-1.077	21°	-0.059	-0.323
50°	0.081; $-\infty$	-1.180; $-\infty$	22°	-0.046	-0.307
51°	-1.527	-1.267	23°	-0.033	-0.290
52°	-1.005	-1.132	24°	-0.019	-0.272
53°	-0.773	-1.075	25°	-0.004	-0.255
54°	-0.637	-1.031	30°	0.088	-0.164
55°	-0.549	-1.000	35°	0.206	-0.076
56°	-0.488	-0.977	40°	0.347	0.001
57°	-0.446	-0.961	45°	0.497	0.059
58°	-0.420	-0.950	50°	0.632	0.096
59°	-0.404	-0.943	55°	0.724	0.115
60°	-0.399	-0.942	60°	0.757	0.120



Фиг. 1.

Таблица 6 (II вариант)

$\varphi$	$\frac{a}{Ec_1} \sigma_{\varphi}^{(1)}(0, \varphi)$	$\frac{a}{Ec_2} \sigma_{\varphi}^{(2)}(0, \varphi)$	$\varphi$	$\frac{a}{Ec_1} \sigma_{\varphi}^{(1)}(t_1, \varphi)$	$\frac{a}{Ec_2} \sigma_{\varphi}^{(2)}(t_1, \varphi)$
0°	2.617	1.660	0°	-0.042	-0.694
1°	2.614	1.656	5°	-0.097	-0.767
2°	2.605	1.645	6°	-0.128	-0.808
3°	2.590	1.625	7°	-0.172	-0.865
4°	2.569; -∞	1.580; -∞	8°	-0.238	-0.953
5°	0.978	-0.714	9°	-0.341	-1.088
6°	0.560	-0.269	10°	-0.523	-1.326
7°	0.737	-0.109	11°	-0.959	-1.894
8°	0.823	-0.034	12°	-∞; 0.686	-∞; 0.256
9°	0.869	0.003	13°	0.684	0.251
10°	0.883	0.020	14°	0.681	0.245
15°	0.889	-0.022	15°	0.677	0.239
20°	0.817	-0.127	20°	0.649	0.196
25°	0.747	-0.222	25°	0.607	0.140
30°	0.698	-0.284	30°	0.562	0.080
35°	0.671	-0.316	35°	0.517	0.023
40°	0.658	-0.329	40°	0.479	-0.026
45°	0.650	-0.334	45°	0.449	-0.064
50°	0.645	-0.336	50°	0.428	-0.092
55°	0.642	-0.335	55°	0.415	-0.108
60°	0.640	-0.334	60°	0.411	-0.113



Фиг. 2.

$$P_1 = 2a \int_{\varphi_0}^{\varphi_1} \sigma_r(0, \varphi) \cos(\varphi_1 - \varphi) d\varphi = \frac{2}{a} \left\{ X_0 [\sin(\varphi_1 - \bar{\varphi}_0) + \bar{\varphi}_0 \cos(\varphi_1 - \bar{\varphi}_0)] - \right.$$

$$\left. - \frac{\varphi_1}{\pi} \sum_{k=1}^{\infty} X_k \frac{x_k \cos x_k \bar{\varphi}_0 \sin(\varphi_1 - \bar{\varphi}_0) + \sin x_k \bar{\varphi}_0 \cos(\varphi_1 - \bar{\varphi}_0)}{x_k^2 - 1} \right\}$$

$$P_2 = 2ae^{t_1} \int_0^{\varphi_1} \sigma_r(t_1, \varphi) \cos \varphi d\varphi = \frac{2}{a} \left\{ Y_0 [\sin \varphi_0 + (\varphi_1 - \varphi_0) \cos \varphi_0] + \right.$$

$$\left. + \frac{\varphi_1}{\pi} \sum_{k=1}^{\infty} Y_k \frac{\sin x_k \varphi_0 \cos \varphi_0 - x_k \cos x_k \varphi_0 \sin \varphi_0}{x_k^2 - 1} \right\}$$

3. Для численной иллюстрации эффективности приведенного решения выбран случай шахматного расположения штампов (по три на каждом из контуров), причем произведены числовые расчеты для двух значений  $\gamma$  и  $\beta$  соответственно для внутреннего и внешнего штампов:

I вариант —  $\gamma = 150^\circ$  ( $\varphi_1 - \bar{\varphi}_0 = 10^\circ$ ),  $\beta = 60^\circ$  ( $\varphi_0 = 20^\circ$ )

II вариант —  $\gamma = 12^\circ$  ( $\varphi_1 - \bar{\varphi}_0 = 56^\circ$ ),  $\beta = 36^\circ$  ( $\varphi_0 = 12^\circ$ )

В обоих случаях коэффициент Пуассона  $\sigma = 0.25$  ( $x_0 = 1/3$ ),  $f_1(\varphi) = c_1$ ,  $f_3(\varphi) = -c_2$ ,  $f_2(\varphi) = f_4(\varphi) = 0$ ,  $t_1 = 0.5$  ( $R_{\text{внеш.}} = 1.65 R_{\text{внутр.}}$ ). Все полученные числовые значения выражаются через произвольные постоянные  $c_1$  и  $c_2$  (например,  $\sigma_r = \sigma_r^{(1)}(c_1) + \sigma_r^{(2)}(c_2)$ ).

Результаты вычислений контактных напряжений  $\sigma_r$ , напряжений  $\sigma_z$ , а также радиальных перемещений вне штампов приведены в табл. 1–6, а также в виде графиков (фиг. 1, 2), причем сплошными линиями на фигурах 1 (I вариант) и 2 (II вариант) показаны графики для случая, когда  $c_1 = 1$ ,  $c_2 = 0$ , а пунктирными — когда  $c_1 = 0$ ,  $c_2 = 1$ .

Коэффициенты при особенностях  $H_1^*$  и  $H_2^*$ , вычисленные по формулам (2.7) и второй из (1.17), будут соответственно равны для каждого из рассмотренных вариантов:

$$1) \quad H_1^* = -0.285 c_1 - 0.041 c_2, \quad H_2^* = 0.185 c_1 + 0.515 c_2$$

$$2) \quad H_1^* = -2.116 c_1 - 1.966 c_2, \quad H_2^* = 0.480 c_1 + 0.627 c_2$$

а силы, действующие на штампы (2.8), получаются равными соответственно

$$1) \quad P_1 = 0.360 c_1 - 0.052 c_2, \quad P_2 = -0.008 c_1 + 0.132 c_2$$

$$2) \quad P_1 = 1.156 c_1 + 0.546 c_2, \quad P_2 = 0.428 c_1 + 0.563 c_2$$

Институт математики и механики

АН Армянской ССР

Ереванский политехнический институт  
им. К. Маркса

Поступила 12 V 196

Ա. Հ. ԲԱԲԼՈՅԱՆ, Վ. Գ. ՍԱՀԱԿՅԱՆ

**ԵՐԵՎԱՆԻ ՕՊԱԿԻ ՀԱՄԱՐ ԱՌԱՋԴԱԿԱՆԵՈՒԹՅԱՆ ՏԵՍՈՒԹՅԱՆ  
ՄԵԽ ՀԱՐՔ ԿՈՆՏԱԿՏԱՅԻՆ ԽՆԴՐԻ ՄԱՍԻՆ**

Ա. Ժ Փ Ա Փ Ա Կ Ա

Դիտարկվում է շրջանալին օղակի համար հարթ կոնտակտալին խընդիրը, երբ օղակի արտաքին ու ներքին եղագակի վրա առանց շփման աղդում և  $m > 1$  միասնակ կոչտ դրոշմները: Դիտարկված են երկու դեպք՝ 1) արտաքին ու ներքին եղագակի վրա աղդող դրոշմները դասավորված են վեմ-զիմաց և 2) շախմատաձև:

Խնդիրը բերվում է վուլգ շարք-համալսարումների սիստմին, որը իր հերթին բերվում է լիովին ուղղակի դալին անվերջ համասարումների:

Ստացված են բանաձևեր կոնտակտալին լարումների և շառավղային տեղափոխումների համար:

**ON A PLANE CONTACT PROBLEM OF THE THEORY  
OF ELASTICITY FOR A CIRCULAR RING**

A. H. BABLOYAN, V. G. SAHAKIAN

**S u m m a r y**

The paper presents a solution of a plane deformation problem for a circular ring in the case of  $m > 1$  similar punches acting symmetrically on both internal and external boundaries of the ring.

Two cases of mutual juxtaposition are considered:

- 1) Where the internal and external punches are opposite each other,
- 2) Where they are arranged alternately.

The problem is reduced to the solution of a dual trigonometric series system, which subsequently is reduced to a quite-regular infinite system of linear algebraic equations.

Suitable formulas have been obtained to calculate contact stresses (with the singularity taken out) and radial displacement.

**Լ И Т Е Р А Т У Р А**

1. *Мусхелишвили Н. И.* Некоторые основные задачи математической теории упругости. Изд. Наука, М., 1966.
2. *Таматэ Осаму, Камада Такэси.* Некоторые смешанные граничные задачи для упругих круговых панелей. Нихон кикай гаккай ромбунсю, Trans. Japan Soc. Mech. Engrs., 30, № 217, 1964, 1220—1227.
3. *Таматэ Осаму, Сигура Кацуо.* О контактной задаче для упругого кругового колца, ч. 1. Нихон кикай гаккай ромбунсю, Trans. Japan Soc. Mech. Engrs., 32, № 233, 1966, 59—65.

4. Таматэ Осаму, Сушура Кацуо. О контактной задаче для упругого кругового кольца, ч. II. Нихон инкай гаккай ромбунсею, *Trans. Japan. Soc., Mech. Engrs.*, 32, № 243, 1966, 1668—1674.
5. Уфлянд Я. С. Биполярные координаты в теории упругости. Гостехиздат, М.—Л., 1950.
6. Баблоян А. А., Саакян В. Г. Решение смешанной задачи теории упругости для кругового кольца. Изв. АН Арм. ССР, Механика, т. XX, № 5, 1967, 3—20.
7. Баблоян А. А. Решение плоской задачи теории упругости для кольцевого сектора. Изв. АН Арм. ССР, сер. физ.-мат. наук, т. 15, № 1, 1962.
8. Srivastav R. P. Dual Relations involving Trigonometric Series. Proc. Roy. Soc. Edinb. (Sec. A), vol. 66, pt. III, 1964, 173—184.
9. Баблоян А. А. Решение некоторых парных уравнений, встречающихся в задачах теории упругости. ПММ, т. 31, вып. 2, 1967.